## **Project Title**

Rendering Complex Scenes

## **Team Member**

朱昀玮, 晋愉翔, 黎可杰, 陈开煦, 张智淋, 雒俊为

#### **Abstract**

在本项目中,我们小组重点关注计算机图形学中的渲染技术,并通过一个兼具自然环境和人工房屋的场景展现我们实现的技术。我们实现的技术主要包括大气、云、地形、草地、海洋等自然环境的渲染技术,与阴影,PBR等提升渲染质量表现的渲染技术。

在关注渲染质量的同时,我们力图构建一个高性能,可扩展,易于使用的框架,使得场景导入更加方便,渲染流程更加清晰,便于进一步开发。为了易于使用的特性,我们引入Component-Object 思想,将场景内的物体视作多种组件的组合,将项目组织成模块的形式开发,并且使用 json 作为物体配置文件,从配置文件中导入和创建物体。为了高性能的实时渲染,我们在项目中大量使用 Compute Shader 加速通用计算,并且使用 SSBO 和 UBO 等buffer 减少 CPU 与 GPU 之间的数据沟通,提升了整体效率。

## Motivation

在定题会议中,我们小组认为专注于渲染技术的研究更加符合我们的兴趣。为此,我们制定了一系列目标,从生活中最常见到的自然环境开始,包括天空、云、地形和海洋。同时,我们希望尝试一些与全局光照和阴影相关的技术,提升阴影质量表现,因此我们在目标中加入了 CSM、PCSS 等阴影技术与 RSM 全局光照技术。

为了项目开发的方便,我们引入了 Object-Component 的项目组织形式。

# The Goal of the project

本项目的目标是实现一些自然渲染与 PTR 渲染技术, 其中自然环境渲染技术目标为: 基于物理的天空、程序化生成的地面、海洋、体积云。RTR 渲染技术为: PCSS+CSM 阴影, RSM 全局光照, PBR 材质, HDR 渲染, 延迟渲染管线。

# The Scope of the project

本项目的范围划分在实时渲染内,只关注实时渲染技术的开发。本项目将不会成为一个游戏,即没有游戏玩法上的设计,而只是关注渲染技术本身,不会使用到如物理引擎,角色动画等游戏上用到的渲染技术。但同时,我们希望场景是实时查看的,可以供使用者在场景中自由移动观察。

# **Involved CG techniques & Implementation**

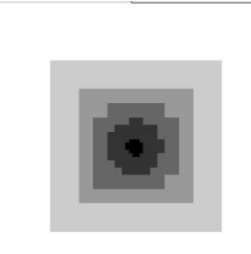
本项目中使用到的 CG 技术主要分为自然环境渲染与其他 RTR 技术。

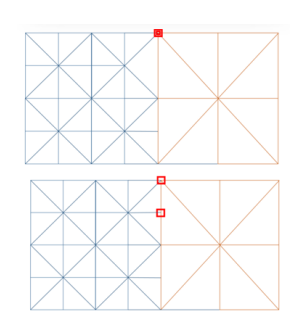
## Nature Rendering

1) Terrain

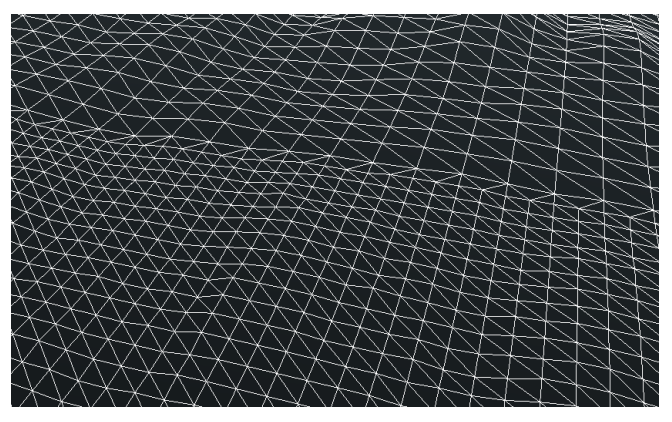
程序化地形生成的方法主要使用 Farcry 5 制作团队在 2018 年 GDC 大会上展示的方法,即使用四叉树 Lod 的方式在 GPU 上动态生成地形,以便支持超大地形的快速生成。整个生成的 pipeline 全在 GPU 上完成,因此效率极高。

该算法基于高度图生成地形,有以下四个步骤:使用 compute shader 计算 Lod 等级,该步骤使用两个 node list 辅助遍历四叉树;从第一步中构建一个 lod map;实际生成 mesh;不同 lod 等级之间的 mesh 缝补。





图表 1 左图 lodMap, 右图 mesh 缝补



图表 2 mesh 生成结果

#### 2) 草地生成

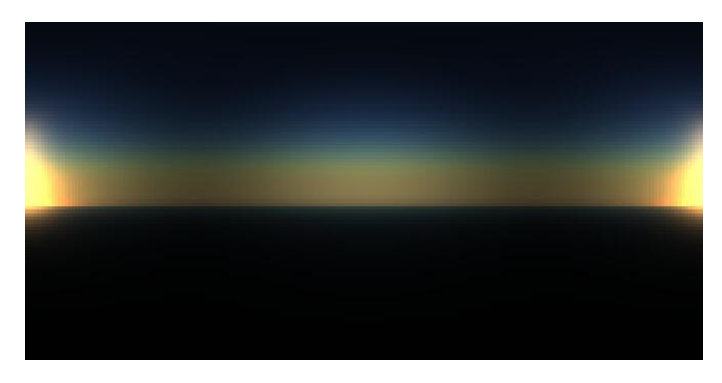
草叶为一个三角形, 生成方式为在 GPU 上根据位置随机做旋转和平移, 并将这个变换对应的矩阵存储在 SSBO 中。在实际渲染中,使用 InstanceID 索引 SSBO 中的矩阵, 完成草地渲染。

## 3) 基于物理的天空

基于物理的天空渲染需要考虑: Mie 散射, Rayleigh 散射, Ozone 层的吸收。本项目中使用的方法为 A scalable and Production Ready Sky and Atmosphere Rendering Technique 论文中提出的方法。该算法有两个步骤: 计算 transmittance lut; 计算 skyview lut;



图表 3 transmittance Lut



图表 4 skyview lut

最后,我们将基于物理的天空和一个星空的 skybox 基于亮度融合,达成了夜晚有星空的效果。

#### 4) Ocean

基本原理:由于直接进行波形的叠加时间成本较高,于是采用算出频谱,通过 IFFT 求出波形,此次使用的为 Jerry Tessendorf 在 Simulating Ocean Water 中所提到的海洋公式。

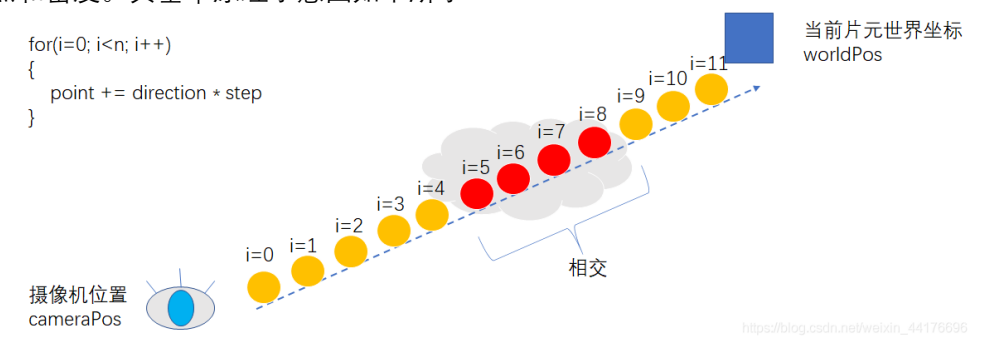
IFFT 海面: 用海洋统计学公式生成 Phillips 频谱, 计算高度频谱和水平偏移频谱, 经快速傅里叶逆变换 (IFFT) 得到偏移图, 计算出 Gerstner 波叠加的海面。

并行性 (parallel): 采用 compute shader 来并行化海面 IFFT 以及相关频谱的计算,使得允许大规模且更多波长的细节计算。

混合 (Blending): 使用混合来实现半透明的海面。

#### 5) Volumetric Cloud

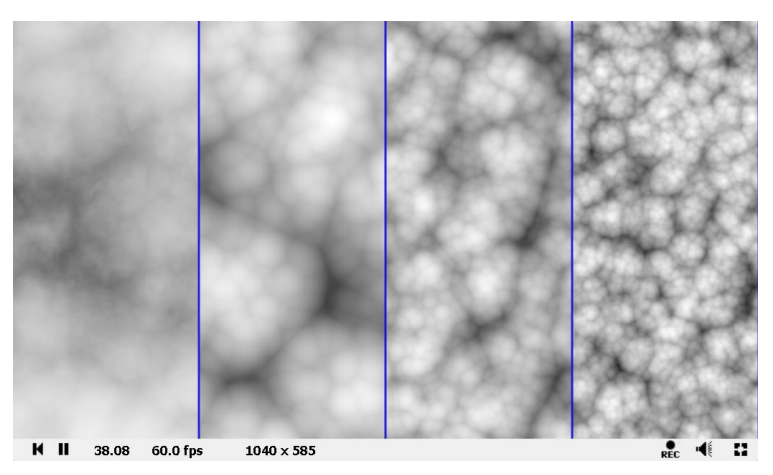
体积云(Volumetric Cloud),是用图像引擎来模拟现实世界的云的半透明、无规则的表现效果。实现体积云的最常见的技术方法是 Ray Marching,在每一步累积光照和密度。其基本原理示意图如下所示:



图表 5 Ray Marching

Ray Marching 与 Ray Tracing 类似,均从摄像机位置处射出一条 ray,不同之处在于 Ray Marching 每步进一个 step 就会停下来计算当前点,再继续前进。绘制体积云时,将从摄像机向世界空间投射光线并逐步步进,当与云层的范围(一个长方体)相交时,判定为穿过了云层,对应投影到屏幕的像素点处需要绘制云的颜色。而云的颜色根据该像素对应的 ray 积累云层密度的大小(每次步进累加的密度值)决定,穿过的云层越厚、越密,云的颜色越深,由此实现体积云的半透明基础绘制。

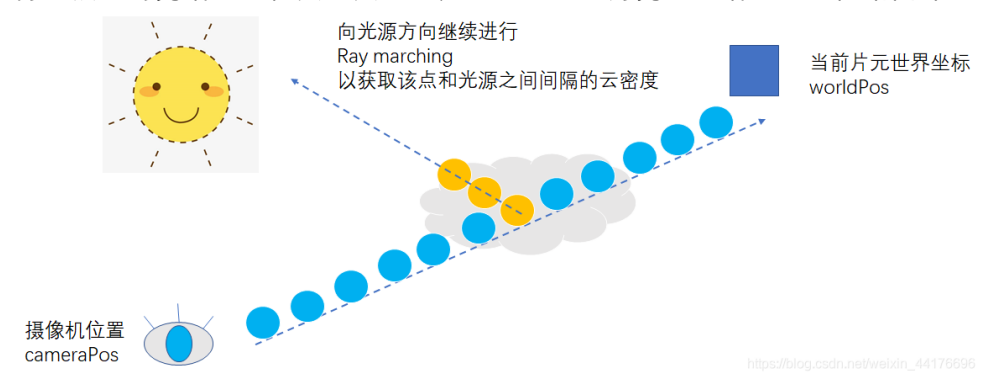
而为了表现出云形状的随机性,云层的长方体中每一点的密度需要随机化,并且相较于完全无规律的随机性,云是在一定空间范围内出现的连续的图形,因此需要使用到连续噪声图定义范围内每一点的密度。常见的 2D 连续噪声图有 Perlin Noise 和 Worley Noise, 分别对应下图最左边一栏和右边三栏:



图表 6 Noise https://www.shadertoy.com/view/3dVXDc

将噪声图以纹理的方式传递给 shader 后,通过使用二维坐标对其进行采样,即可获得随机且连续的密度值,由此实现 2D 平面的云朵绘制。在 xz 平面的噪声采样基础上,在 y 方向上进行进一步处理,包括但不局限于改用 3D 噪声进行采样、调整竖直方向密度差使得中部较密高部和低部较疏等方式,即可绘制出一个较为逼真的立体体积云。

最后一步,考虑光照的问题,与 Ray Tracing 方法中的 shadow ray 类似,当前位置处于云层范围内时,由该点向光源方向再 march 一次,计算到光源隔了多厚的云,得出该点的亮暗。而在实际实现中,常将云层分为亮处和暗处进行粗略估计。



图表 7 Shading

## 2. RTR techniques

#### 1) Shadows

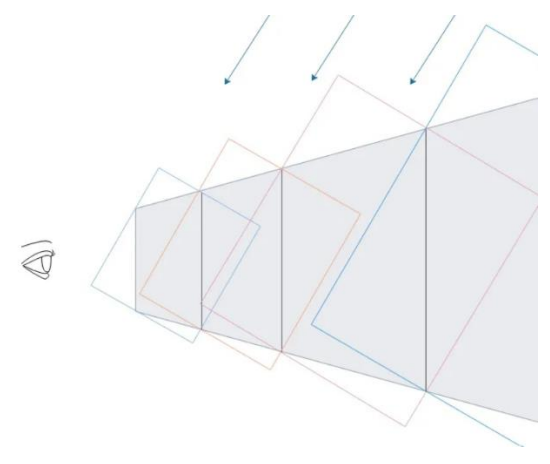
在阴影部分,项目主要使用 shadow maps 方法对于点光源和平行光源实现了 阴影效果。shadows maps 主要的思想是将投光物作为一个新的"光相机",使用光相机观察场景从而得到深度贴图,对于每个 fragment,比较通过计算得出的在光空间下的深度和 shadow map 中的深度,若计算得出的深度大于 shadow map 中存储的深度,则认为该 fragment 位于此光源的阴影中。

对于点光源,我们采用万象阴影贴图的方法,对于每个点光源,从点光源出发向立方体的 6 个面看去从而生成 6 张深度贴图,我们将其以 cube map 的形式传入 fragment shader 中。

对于平行光源,我们采用级联阴影贴图的方法,将视锥体按照和近平面的距离划分为5个体积各异的平截头体,并分别在光空间下计算其的紧凑包围盒,再通过包围盒的尺寸信息和平行光的方向计算出正交投影矩阵。

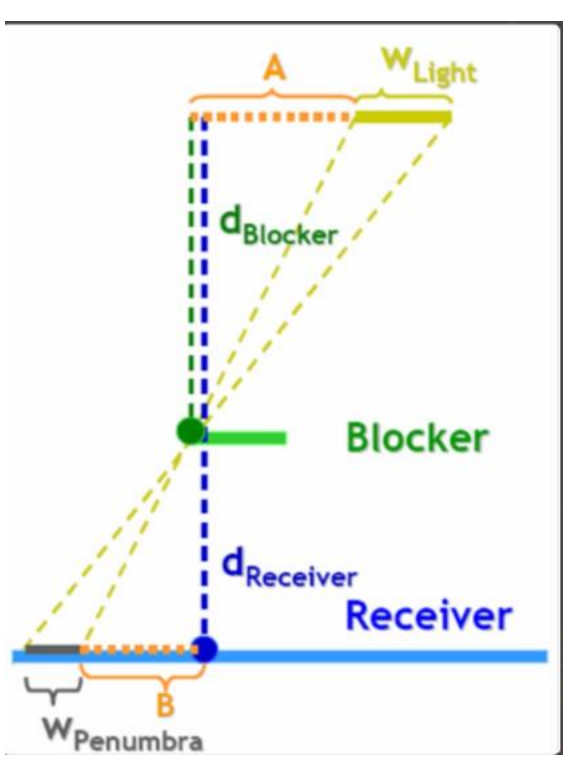
由于 shadow map 方法存在边缘锯齿的问题,我们对于点光源和平行光源分别

使用 PCF 和 PCSS 的方法来实现引用边缘虚化和软阴影的效果。



图表 8 CSM

在不使用 PCF/PCSS 的情况下,要判断一个 fragment 是否处在阴影中,我们只会将其在光空间的深度和对应的 shadow map 中的唯一一个 texel 的深度比较。由于 shadow map 的分辨率是有限的,因此会出现边缘锯齿形的阴影。在 PCF 中,对于一个 fragment,我们对一个固定区域内多个 texel 进行采样,将采样的结果平均得到阴影系数。



图表 9 PCSS

PCSS 可以看做是自适应尺寸滤波核的 PCF, 而采样区域大小取决于投光物、遮挡物和被遮挡物三者的位置关系, 如下图所示:

其中  $w_{penumbra}$  可以看做是我们需要的滤波核尺寸, $d_{receiver}$  是投光物和被遮挡物的距离, $\$\$d_{blocker}$  是投光物到遮挡物的距离, $w_{light}$  是光源的宽度,由相似三角形可以得到

$$w_{penumbra} = (d_{receiver} - d_{blocker})w_{light}/d_{blocker}$$

由此我们便可以得到 PCSS 中自适应滤波核的大小。

#### 2) RSM

使用 Reflective Shadow Maps (RSM) 进行实现。这是一种实时渲染中用于模拟场景中光和阴影相互作用的技术。它是常用于创建实时图形中阴影的阴影映射算法的变体。它扩展了"从光源空间观察"这一思路。在记录深度信息的同时也在帧缓冲中记录世界坐标、法线、光照颜色信息,在最终渲染过程中利用这些信息,将光源附近的物体的反射光线作为虚拟光源,从而渲染间接光照的效果。

## 总体算法流程如下:

从光源的视角进行一次渲染,保存上述四种信息至纹理中。

在渲染点附近进行随机采样,使之成为"虚拟点光源",这里假设屏幕空间里面 离这个着色点越近的虚拟点光源贡献越大:

 $s + rmax\xi1sin(2\pi\xi2), t + rmax\xi1cos(2\pi\xi2))$ 

其中 {1, {2} 为随机数

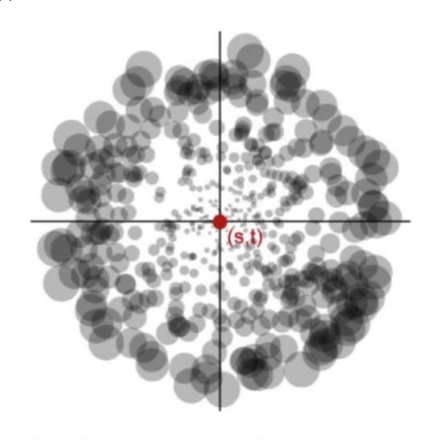


Figure 4: Sampling pattern example. The sample density decreases and the sample weights (visualized by the disk radius) increases with the distance to the center.

图表 10 RSM

根据渲染方程和衰减公式,计算辐射强度

$$Ep(x,n) = \Phi p \frac{max\{0, < n_p \mid x - x_p >\} max\{0, < n \mid x_p - x >\}}{\mid\mid x - x_p \mid\mid^4}$$

用这所有的虚拟点光源来计算间接光照

```
次级光照计算
```

```
vec3 projCoords=FragPosLightSpace.xyz/FragPosLightSpace.w;
projCoords=projCoords*0.5+0.5;

vec3 indirect=vec3(0.0,0.0,0.0);
for (int i=0; i<sample_num; i=i+1){
    vec3 r=texelFetch(randomMap, ivec2(i, 0), 0).xyz;
    vec2 sample_coord=projCoords.xy+r.xy*sample_radius;
    float weight=r.z;</pre>
```

```
vec3 target_normal=texture(normalMap,
sample_coord).xyz;
  vec3 target_worldPos=texture(worldPosMap,
sample_coord).xyz;
  vec3 target_flux=texture(fluxMap, sample_coord).rgb;

vec3 dis=FragPos-target_worldPos;
  vec3 indirect_result=target_flux*max(0,
dot(target_normal, dis))*max(0, dot(Normal, -dis));
  indirect_result
*= weight/max(1.0,pow(length(dis),4.0));
  indirect+=indirect_result;
}
indirect=clamp(indirect/sample_num, 0.0, 1.0);

return indirect * RSM_INTENSITY;
```

最后将直接光照和间接光照结果合并。这种实现方式较简单且效果较真实, 缺点是有针对多光源效率差、没有考虑间接光的遮挡问题、受限于采样率, 效率会较低。代码实现过程中适当减少了采样数来提高效率。

#### 实现方法

与实体的三角片元绘制不同, 体积云并非通过 CPU 向 GPU 传递顶点绘制, 而是在 shader 中通过算法直接生成。而为了在 Vertex shader 中获得世界坐标,仅需将 view 和 projection 传入即可,同时需要传入的是点光源坐标和时间(用于云层的移动)。

```
// pass projection matrix to shader (note that in this case it could change every frame)
glm::mat4 projection = glm::perspective(glm::radians(camera.Zoom), (float)SCR_WIDTH / (float)SCR_HEIGHT, 0.1f, 100.0f);
shader.setMat4("projection", projection);

// camera/view transformation
glm::mat4 view = camera.GetViewMatrix();
shader.setMat4("view", view);

shader.setVec3("cameraPos", camera.Position);
shader.setVec3("lightPos", glm::vec3(0.0f, 400.0f, 0.0f));
shader.setFloat("offset", (float)glfwGetTime());
```

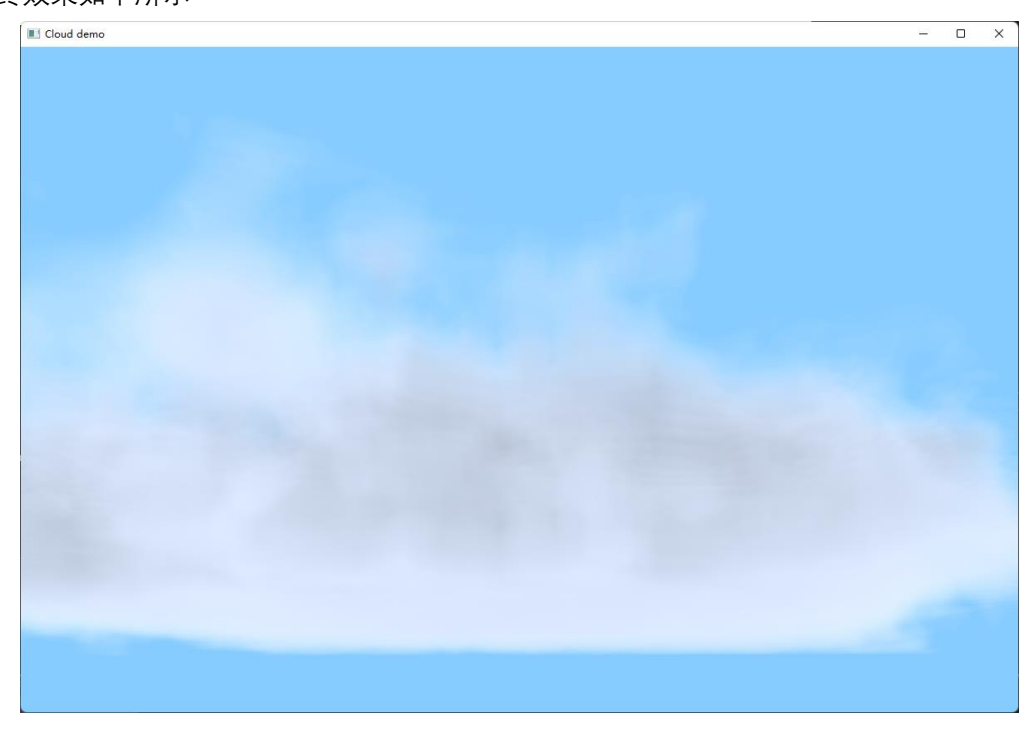
在 Vertex shader 中,将传入的坐标乘以 view 矩阵的逆矩阵得到对应的世界坐标:

```
#version 330 core
layout (location = 0) in vec3 aPos;
uniform mat4 model;
uniform mat4 view;
uniform mat4 projection;
out vec4 worldPos;
out vec4 bgColor;
void main()
{
    vec4 const_bk = vec4(0.53f, 0.8f, 1.0f, 1.0f);
    worldPos = inverse(view) * vec4(aPos, 1.0f);
    gl_Position = projection * vec4(aPos, 1.0f);
    bgColor = const_bk;
}
```

对于体积云绘制主要在 Fragment shader 中实现。getCloud 函数主要实现 Ray Marching 的过程并返回当前点的颜色(处于云层内,通过上述技术原理获取云的颜色,否则返回背景

## 颜色)。

## 最终效果如下所示



## 3. Others

1) 模型加载 前期尝试

本项目在立项时,希望能够呈现出一间现代化的房屋。考虑到房屋中模型众多, 且本项目并没有计划实现在项目中实时编辑物体,因此我们需要一种方式便捷地定 义场景中的物体,使其模型、材质、位置等信息能够一一对应。

我们首先从网上下载了房屋模型资源,并试图从 FBX 格式的文件中获取其材质信息。然而由于我们得到的 FBX 文件是二进制格式的,无法分析其文件结构,且这种方式也无法获取模型在场景中的位置信息,因此我们放弃了自行实现对 FBX 文件的解析。

考虑到我们的模型资源来自 Unity 资源商店,其位置信息的存储方式是 Unity 预制体,具体格式为 YAML 文件的一种变体, 因此我们决定自行实现这种文件格式的解析,从而直接获取模型所需的所有信息。然而,由于现有的用于 C++解析 YAML 文件的库对这种变体格式处理能力不足,且 Unity 文件中存储的位置信息并非全局坐标系下的坐标,无法直接在本项目中使用,因此我们决定另寻出路。

#### 实现方案

我们首先自定义了一种 Json 文件的格式, 将本项目中的物体与 Json 文件建立起关联, 此后只需编辑 Json 文件内容, 即可调整场景中的物体。单个物体的 Json 文件主要包含其位置、旋转、缩放信息, 以及模型、贴图文件路径(光源物体则包含其光源类型), 整个场景的 Json 文件则包含各个物体的文件路径, 以及是否启用地形、草地、海洋等全局信息。

图表 11 单个物体 Json 文件内容实例

由于场景中物体众多,手动编辑 Json 文件并不现实,因此我们决定在 Unity 编

辑器中通过 C#脚本, 直接将 Unity 场景中的模型转换为本项目中所需的 Json 文件。在转换过程中,可以使用 Unity 提供的 API 输出物体在全局坐标下的位置,解决了坐标系不匹配的问题。另外,由于本项目中尚未实现对透明物体的渲染支持,因此在转换过程中剔除了透明物体(主要是玻璃、植物),防止渲染这些物体时产生意外的效果。

由于我们获取的模型中,一个网格文件包含多个使用不同贴图的部分,而本项目当前仅支持单个模型使用单套贴图,因此我们需要对 FBX 网格进行拆分。我们在Unity 中查找到了 FBX 网格导出插件,将所有组合物体拆分为了多个网格并导出为FBX. 为其分别生成 Json 文件以便导入。

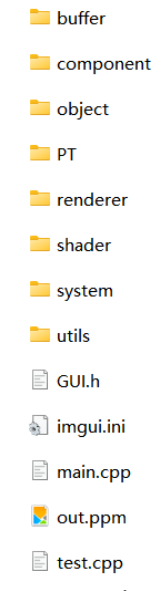
为了提升模型加载速度,我们采用了多线程的方式加载模型。在项目前期,我们尝试在渲染过程中,边渲染边加载场景,防止程序启动时卡顿时间过长。但是OpenGL 无法在多个线程中同时操作状态机,这意味着无法在多个线程中创建VAO,VBO 等 buffer object。最后,我们仍然采用了先加载再渲染的方式,将待加载的物体按照 json 中规定的顺序分为 16 组,每组用一个线程加载

#### 2) 材质压缩

在加载部分模型到本项目中后,所使用的内存已经超出了上限,无法加载所有模型。占用内存的主要是模型的材质贴图,由于先前使用的贴图格式是未压缩的格式,因此内存占用过多。我们使用 NVIDIA Texture Tools Exporter 将 png 格式的贴图转换为 OpenGL 可进行采样的压缩格式 dds,从而大幅降低了内存占用率。

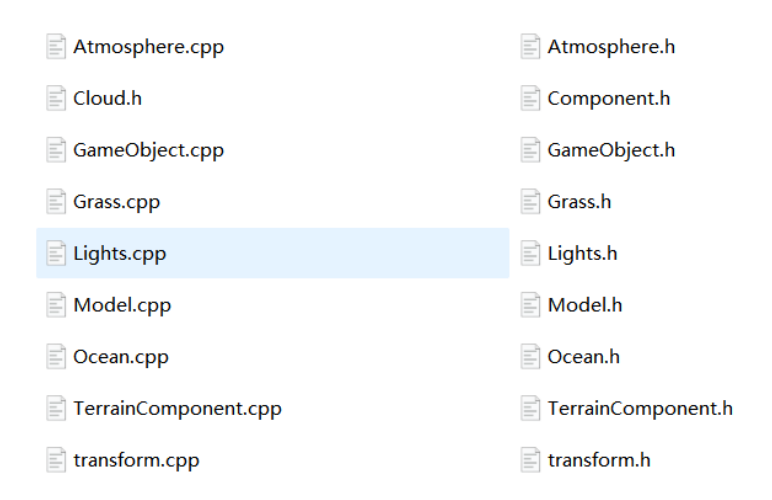
## **Project contents**

项目结构如图 12 所示。



图表 12 项目结构

buffer 文件夹中,封装了 SSBO,UBO,FrameBuffer 等 Buffer 结构,方便开发使用。Component 文件夹中存储了各种组件,包括 transform:存储物体的位置信息; Model 为模型导入文件; Lights 为灯光类型; Cloud、Atmosphere 为 Sky 特殊的组件,实现云和大气效果; TerrainComponent、Grass 和 Ocean 为 Terrain 类特殊的组件,实现地形 Mesh、草地和海洋。



图表 13 Component

Object 文件夹中放置 Terrain、Sky、Camera 等特殊类。

Renderer 文件夹中存放和渲染相关的所有组件和系统,包括 renderManager, MeshFilter (几何信息组件), MeshRenderer (绘制组件), RenderPass (包括 deferred pass 等) RenderScene (场景类), Texture (存储单张图片), Material (存储一张材质)。

Shader 文件夹中存放所有相关的 shader.

## **Results**

项目效果在视频文件中展示,此处不再赘述。

## **Problems & Solutions**

- 1. 材质文件过大,超出 32GB 使用 DDS 格式,改格式为 OPENGL 插件支持的图片格式。将 PNG、JPG 预处理为 DDS, 再导入,可以有效降低内存占用。
- 2. 为了使得能进行大规模并行的渲染,采用了 compute shader,但一开始对 compute shader 的使用以及多线程的调用方式不熟悉;以及之前不清楚 texture2D 在 shader 里的传入方式,后期通过学习学会。

```
#version 430 core You, 2 weeks ago • Ocean ...

layout(local_size_x=8,local_size_y=8,local_size_z=1) in;//一个线程组的线程信息

layout(rgba32f,binding=5) uniform image2D InputRT;
layout(rgba32f,binding=6) uniform image2D OutputRT;
```

3. lerp 函数之前实现的时候比例一直是反的, 修改后发现对一个 float 进行了 noramlize 的操作(误以为是归一化), 结果直接变成 1.0, 屏幕空间一堆白色大块像素点

```
vec3 lerp(vec3 a,vec3 b,float t)
{
    //a + (b - a) * t
    return a+(b-a)*t;
}
```

- 4. IFFT 的优化理论部分学习了挺久,了解了在 IDFT 基础上降低复杂度的原理
- 5. 噪声生成

对于需要采样的噪声图的获取,最开始的想法是仅使用 2D Perlin Noise 或者 2D Worley Noise,在 y 方向上仅设置高处和低处密度较小,中部密度较大,由此产生的问题是在 y 方向上并没有体现出随机性,视觉上像数个比较规则的球。因此考虑将 2D 噪声改为 3D 噪声。

由于 3D 噪声图无法直接通过采样图片的形式实现,因此考虑在 Fragment shader 中直接实现一个根据 xyz 坐标生成的 3D Perlin Noise, 但产生的下一个问题是开销过大, 当摄像机对准云层时,出现非常严重的卡顿现象。

查阅相关资料后,找到一种折中的方式:通过连续采样两次 2D 噪声图的方式生成 3D 噪声。具体实现如下图所示:

```
float noise(vec3 x)
{
   vec3 p = floor(x);
   vec3 f = fract(x);
   f = smoothstep(0.0, 1.0, f);
   vec2 uv = (p.xy+vec2(37.0, 17.0)*p.z) + f.xy;
   float v1 = texture2D(noisetex, (uv)/256.0, -100.0).x;
   float v2 = texture2D(noisetex, (uv + vec2(37.0, 17.0)) / 256.0, -100.0).x;
   return mix(v1, v2, f.z);
}
```

由于 2D 噪声是通过采样 texture 的方式实现,且 noise 函数计算并不复杂,一次渲染的时间平均能控制在 10ms 上下,且云的形状效果比较理想。 为了丰富云形状的细节,采用如下的方式对噪声多次采样:

```
float getCloudNoise(vec3 pos) {
    vec3 coord = pos;
    float mid = (cloud_bottom + cloud_top) / 2.0;
    float h = cloud_top - cloud_bottom;
    float weight = 1.0 - 2.0 * abs(mid - pos.y) / h;
    weight = pow(weight, 0.5);
    float v = 1.0;
    if(coord.y < cloud_bottom) {
        v = 1.0 - smoothstep(0.0, 1.0, min(cloud_bottom - coord.y, 1.0));
    }
    else if(coord.y > cloud_top) {
        v = 1.0 - smoothstep(0.0, 1.0, min(coord.y - cloud_top, 1.0));
    }
    coord.z -= float(offset) * 100;
    coord *= gather_para;
    float n = noise(coord) * 0.5;    coord *= 3.0;
    n += noise(coord) * 0.25;     coord *= 3.02;
    n += noise(coord) * 0.125;     coord *= 3.02;
    n += noise(coord) * 0.0625;
    float noise = smoothstep(0.0, 1.0, pow(max(n - 0.5, 0.0) * (1.0 / (1.0 - 0.5)), 0.4));
    noise *= weight;
    noise *= w;
    return noise;
}
```

可以看到 getCloudNoise 函数中调用了四次 noise 函数,即对噪声进行了四次采样,并使用了 smoothstep 进行了平滑处理。

#### 4. 云的大小和分散程度

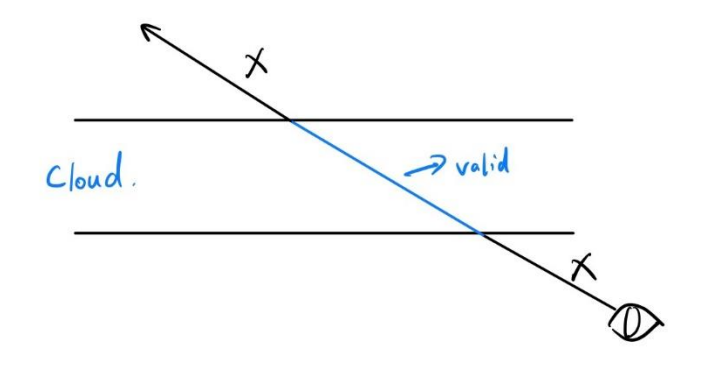
在绘制时,发现云呈现出小而细碎的效果,而实际的云的形状应为大团并比较分散,即单位空间内云朵应体积较大且数量较少。应对此问题的解决方法是在上述 getCloudNoise 函数中,将 coord 乘以一个参数 gather\_para 进行调整,此参数越小,云越大、越聚集。不同gather\_para 下云的表现效果如下三张图所示:



6. 由于 Ray Marching 同 Ray Tracing 一样,需要向世界空间中各个方向投射 ray,因此开销较大,需要进行优化,去除无效的渲染。

## 去除无效 Ray Marching

由于云层的范围是人为规定的,因此对于步进而言,仅在云层范围内的是有效的,射出云层外的和射入云层前的 marching 均是无效的。由此可以通过两种方式实现优化:



首先是射入云层前的部分,处理方式是如果判断起点在云层的下方,则沿着 direction 将步进起点移动到云层的低端(cloud\_bottom):

```
// if camera is under the cloud, then move the start position to cloud_bottom
if(point.y < cloud_bottom) {
    point += direction * (abs(cloud_bottom - cameraPos.y) / abs(direction.y));
}</pre>
```

然后是射出云层的部分,处理方式是如果判断当前步进已经离开了云层范围,则直接 break 结束步进循环:

```
for(int i = 0; i < march_times; i++) {
    point += step * (step_para + i);
    if(cloud_bottom>point.y || point.y>cloud_top || -width>point.x || point.x>width || -width>point.z || point.z>width) {
        break;
}
```

## 可变步长采样

Ray Marching 是按照一定的步长进行步进的,步长越小,绘制出来的云的品质也就越高;同时步进次数和步长的乘积决定了 Ray Marching 的范围。事实上,远处的云对于品质的要求并不高,并且希望确保云层范围内所有的云均在步进范围内,因此可以采用可变步长进行采样,具体为近处采用小步长步进,远处使用大步长进行步进,如下图所示,随着步进次数增加,i增加,会使步长逐渐增大。

```
for(int i = 0; i < march_times; i++) {
    point += step * (step_para + i);
    if(cloud_bottom>point.y || point.y>cloud_top || -width>point.x || point.x>width || -width>point.z || point.z>width) {
        break;
    }
```

# Roles in group

- 张智淋: Volumetric Cloud
- 維俊为: Reflective Shadow map
- 黎可杰: Ocean
- 陈开煦: Shadow
- 晋愉翔: Model Loading
- 朱昀玮: Procedural Terrain, Physically-based sky, Grass, part of Model loading, Framework design.

# Reference

- [1] Dachsbacher C , Stamminger M . Reflective shadow maps[J] interactive 3d graphics and games. 2005.
- [2] illaire, Sébastien. (2020). A Scalable and Production Ready Sky and Atmosphere Rendering Technique. Computer Graphics Forum. 39. 13-22. 10.1111/cgf.14050.
- [3] Jeremy Moore(2018). Terrain Rendering in Far Cry 5. Game developers conference.
- [4] Joey. Learn Opengl